- 2. Hoffmann, C. Cold Atmospheric Plasma: methods of production and application in dentistry and oncology / C. Hoffmann, C. Berganza, J. Zhang // Medical Gas Research. -2013.-P.21.
- 3. Пат. WO 2015/071746 A1, МПК H05H 1/24, H05H 1/30. Method of generating an atmospheric plasma jet and atmospheric plasma minitorch device / Patelli, A., Verga Falzacappa, E., Scopece, P., Pierobon, R., Vezzu, S. Опубл. 21.05.2015. 45 с.
- 4. Пат. US 2011/0298376 A1, МПК H05H 1/30. Apparatus and method for producing plasma / Kanegae, M., Kato K., Onoe K., Fukuoka D. Опубл. 08.12.2011. 36 с.

А.А. Хмыль¹, Н.Н. Федосенко², А.Н. Купо²

¹УО «Белорусский государственный университет информатики и радиоэлектроники», Минск, Беларусь ²УО «Гомельский государственный университет имени Франциска Скорины», Гомель, Беларусь

ВЛИЯНИЕ АКТИВИРУЮЩЕГО ЛАЗЕРНОГО ИЗЛУЧЕНИЯ НА КИНЕТИКУ ЭЛЕКТРОХИМИЧЕСКОГО ОСАЖДЕНИЯ СЕРЕБРА

Введение

Среди различных методов формирования функциональных элементов и поверхностных структур электронной техники одним из перспективных и непрерывно развивающихся является метод электрохимической обработки. В последние годы научный интерес вызывает электрохимическая обработка (как осаждение, так и травление) с применением активирующего лазерного излучения. Использование лазерного излучения в электрохимических реакциях обеспечивает существенное локальное увеличение (в 5–10 раз) скорости процесса, позволяет снизить механические напряжения и концентрацию микродефектов в получаемых покрытиях. В зоне воздействия ЛИ и её ближайшей окрестности формируются локальные осадки металлов, при этом их свойства принципиально отличаются от свойств электрохимического покрытия, осаждаемого вне зоны термического влияния лазерного излучения [1, 2].

Локальное безмасочное лазерное электрохимическое осаждение (ЛЭО) применяется при изготовлении контактных площадок, формировании объёмных выводов на рамках микросхем, закреплённых на ленточных носителях, деталях электромеханических микрореле и т. д. Метод лазерной электрохимии обеспечивает развитие новых технологий изготовления непланарных сеток, филь-

тров, дифракционных решёток, покрытия внутренней поверхности узких отверстий, формирования межслойных соединений в печатных платах и микросхемах. Активация электрохимических процессов лазерным излучением способствует повышению производительности труда за счёт увеличения процента выхода годных изделий, экономии материалов, что особенно важно при формировании покрытий из драгоценных металлов, а также экологической безопасности.

Использование метода электрохимического осаждения металлов в условиях лазерной активации, кроме того, что позволяет обеспечить локальное ускорение процесса электролиза, но и предоставляет возможность формировать осадки с заданными эксплуатационными характеристиками. Такой эффект достигается за счёт относительной технической простоты и возможности варьировать параметры ЛИ в широких пределах. Исследование механизма формирования локальных осадков методом ЛЭО лежит в основе создания токонесущих элементов электронной техники с заданными электрическими и микромеханическими свойствами.

1. Результаты эксперимента и моделирование

Для активации в процессе ЛЭО серебра использовалось лазерное излучение (ЛИ) с длиной волны $\lambda=1,06$ мкм, длительностью импульса $\Delta t=4\cdot 10^{-3}$ с, частотой следования импульсов f=5 Гц. Экспериментально, посредством использования микротермопар [3], получены радиально-временные распределения температуры на поверхности медного катода вблизи локального осадка серебра в диапазоне плотности мощности (ПМ) ЛИ $W=(1-5)\cdot 10^{10}~{\rm BT/m^2}$. На рисунке 1 представлена динамика изменения температуры ΔT на поверхности катода на удалении 1 мм от центра лазерного «пятна» при различных ПМ ЛИ с течением времени τ .

Непосредственно в процессе формирования электрохимического покрытия, одновременно с измерениями температуры, используя оптическую систему «СОК-2», сопряжённую с компьютером, проводились наблюдения изменения радиуса локального осадка. На рисунке 2 представлена зависимость стационарного радиуса локального осадка серебра r_{∞} от ПМ ЛИ W. Следует отметить, что с увеличением ПМ увеличивается и стационарный радиус локального осадка, по достижении которого дальнейшее воздействие ЛИ приводит к деградации свойств электрохимического покрытия, и, в конечном итоге, к лазерной деструкции электрохимического покрытия и подложки.

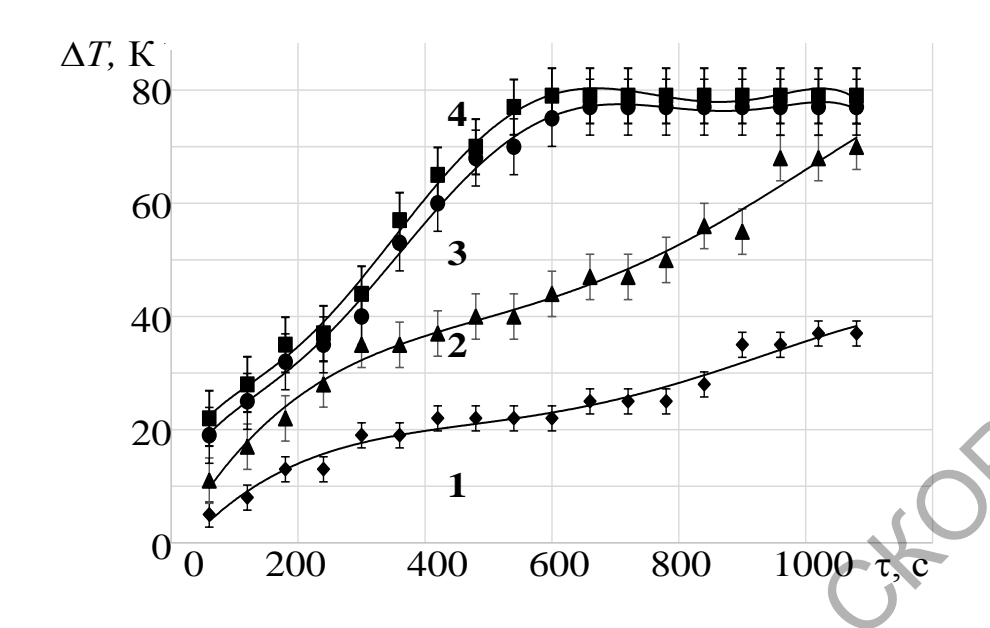


Рисунок 1 — Динамика изменения температуры на заданном удалении от центра лазерного пятна при ЛЭО серебра:

 $1 - W = 1.0 \cdot 10^{10} \text{BT/m}^2$; $2 - W = 2.0 \cdot 10^{10} \text{BT/m}^2$;

 $3 - W = 3.0 \cdot 10^{10} \text{BT/m}^2$; $4 - W = 4.0 \cdot 10^{10} \text{BT/m}^2$.

Расстояние от центра лазерного пятна r = 0,1 см

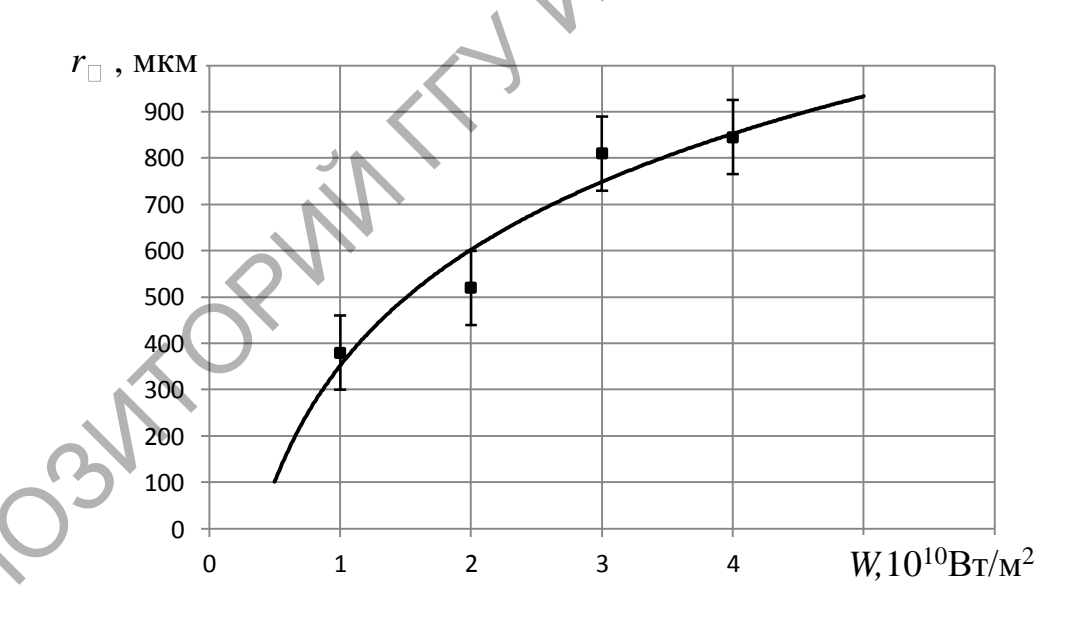


Рисунок 2 – Зависимость стационарного радиуса локального осадка от ПМ ЛИ

На рисунке 3 представлена зависимость стационарной температуры ΔT_{∞} от ПМ ЛИ на удалении r=0,1 см от центра зоны термического влияния. При этом зависимости, представленные на рисунках 2 и 3 коррелируют между собой. Анализируя информацию, представленную на этих рисунках, можно от-

метить, что наибольшая стационарная температура катода, определяемая значением ПМ ЛИ, соответствует наибольшему стационарному радиусу локального осадка.

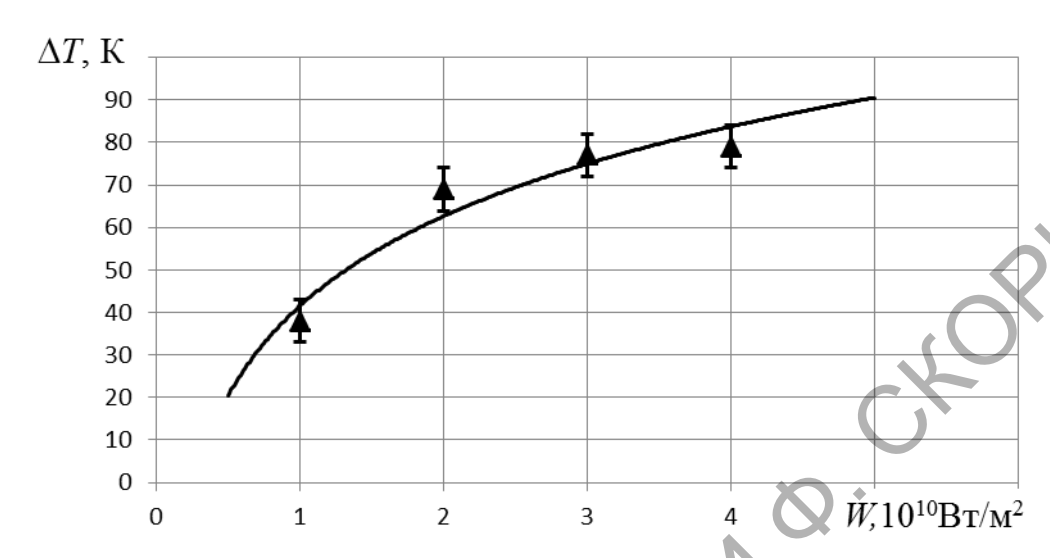


Рисунок 3 – Зависимость стационарной температуры вблизи границы локального осадка от ПМ ЛИ

На основании теории регулярного нагрева Г.М. Кондратьева можно считать, что при достаточно больших, но конечных временах т воздействия на поверхность ЛИ справедливо соотношение [4]:

$$\Delta T(r,\tau) = \Delta T(r) \cdot (1 - e^{-m \cdot \tau}), \qquad (1)$$

где m — темп нагрева.

т – темп нагрева. С использованием соотношения (1) проведена аппроксимация экспериментальных временных зависимостей температуры вблизи границы локального осадка при различных значениях ПМ ЛИ. Определены темпы нагрева m в указанном диапазоне ПМ W. Установлено, что увеличение темпа нагрева с ростом ПМ ЛИ отражает характер увеличения стационарного радиуса локального осадка при увеличении W. Резкое увеличение темпа нагрева, приводящее к быстрому росту радиуса локального осадка, соответствует диапазону $\Pi M \sim (2,5-3,5)\cdot 10^{10}~{\rm Bt/m^2}$. Выявленная закономерность указывает на то, что в данном диапазоне W снимается так называемое диффузионное ограничение скорости процесса осаждения металла, связанное с транспортировкой ионов к катоду из объёма электролита. В области больших плотностей мощности скорость всего процесса определяется особенностями формирования твердой фазы локального осадка, т.е. скоростью разряда ионов на границе «катод-электролит».

Полученные данные о закономерностях «уширения» локального осадка при различных ПМ позволили проанализировать кинетику этого процесса. Локальный электрохимический осадок в условиях лазерной активации формируется в результате суперпозиции двух конкурирующих процессов: адсорбции и кристаллизации, с одной стороны, и десорбции – с другой. Кинетические закономерности указанных процессов характеризуются определенной скоростью и константами скорости α_1 и α_2 [5]. Полагая, что указанные процессы являются процессами первого порядка, можно для радиуса локального осадка записать:

$$\ln\frac{r^*}{r^*-r} = \frac{\tau}{\zeta},$$

где r^* – радиус стационарного локального осадка, r – его радиус в момент времени τ , $\zeta = \frac{1}{2\zeta + 2\zeta}$ – время, по истечении которого стабилизируются темпера-

тура и радиус локального осадка (время релаксации). Используя выражение (2) и экспериментальные данные о динамике радиуса локального осадка серебра было рассчитано время релаксации роста локального осадка в указанном диапазоне ПМ ЛИ. Показано, что с увеличением ПМ ЛИ время релаксации уменьшается, что согласуется с экспериментом. Этот факт, в частности, подтверждает вывод о замене лимитирующей стадии электрохимического процесса формирования локального осадка при изменении ПМ ЛИ.

Заключение

Таким образом, получены следующие результаты:

- проанализирован механизм взаимодействия ЛИ инфракрасного диапазона с металлами на примере ЛЭО серебра на медные подложки;
- проведен анализ динамики роста локального осадка, позволивший определить влияние ПМ ЛИ на кинетику его формирования.
- экспериментально установлено, что стационарная температура в зоне воздействия ЛИ стабилизируется в течение $\sim 10^{-2} 10^{-3}$ с;
- с помощью формулы (1) проведена аппроксимация экспериментальных временных зависимостей температуры в окрестности локального осадка при различных ПМ ЛИ, определены темпы нагрева и время релаксации;
- установлено, что увеличение плотности мощности до ~3,5·10¹⁰ Bт/м² снимает ограничение скорости осаждения серебра по диффузионному механизму, а в области (3,5–5,0)·10¹⁰ Bт/м² определяется скоростью разряда катионов.

Литература

1. Кочемировский, В.А. Изучение возможности протекания реакции лазерно-индуцированного осаждения меди в конденсированных средах / В.А Кочемировский, И.И Тумкин, Е.В Шишкова // Современные проблемы науки и образования. — 2014. — С. 68—79.

- 2. Влияние лазерного излучения на теплообменные процессы при электрохимическом осаждении серебра / А.А. Хмыль [и др.] // Известия НАН Беларуси. Сер. физико-технич. наук. – 2006. – № 2. – С. 17–20.
- 3. Федосенко, Н.Н. Лазерная электрохимическая модификация поверхности материалов электронной техники / Н.Н. Федосенко, В.Г. Шолох, А.Н. Купо // Известия Гомельского государственного университета имени Ф. Скорины. $\sim 2006. N \ge 6(39). \text{Ч. 1.} \text{С. } 144-147.$
- 4. Кондратьев, В.М. Регулярный тепловой режим / В.М. Кондратьев. Москва: Гостехиздат, 1954. 276 с.
- 5. Дамаскин, Б.Б. Электрохимия: учебник / Б.Б. Дамаскин, О.А. Петрий, Г.А. Цирлих. Москва: Химия, 2006. 672 с.

А.В. Хомченко

ГУ ВПО «Белорусско-российский университет», Могилев, Беларусь

ВОЛНОВОДНАЯ СПЕКТРОСКОПИЯ ТОНКИХ ПЛЕНОК И АДСЛОЕВ НА ИХ ПОВЕРХНОСТИ

Введение

Бурное развитие нанотехнологий стимулирует исследование свойств пленок, толщина которых составляет десятки и даже единицы нанометров. Тонкие пленки широко используются в опто- и микроэлектронике, оптике и нанофотонике. Получение сверхтонких пленок не вызывает затруднений. Качество зависит от выбранного метода, но особенности фазовых и структурных состояний вещества в тонких пленках создают большие технологические и эксплуатационные трудности, связанные с недостаточной их воспроизводимостью и возможной нестабильностью свойств во времени. Таким образом, существует задача измерения параметров тонких пленок и наноразмерных слоев. К настоящему времени разработан ряд способов и методик измерения и контроля параметров тонкопленочных структур. Одним из эффективных методов такого контроля наряду с эллипсометрией [1] и рефлектометрией [2] является волноводная спектроскопия [3]. В последнее время появился ряд работ, расширяющих возможности волноводного метода [4, 5].

В настоящей работе изложены основные принципы и техника эксперимента измерения спектральных характеристик на основе пространственной фурьеспектроскопии волноводных мод [3]. Обсуждаются возможности и особенности измерения коэффициента поглощения (экстинции) k, показателя преломления n, толщины пленки d и исследования спектральных свойств тонких пле-